

Polymer (Korea) Published by The Polymer Society of Korea
Vol. 5, No. 5, 1981.
Printed in the Republic of Korea

Novolac-TDI系 Polyurethane에 관한 연구

심 정 설·박 봉 화

서울대학교 공과대학 공업화학과

(1981년 6월 19일 접수)

Studies on Polyurethanes Based on Novolac and Tolylenediisocyanate

Jyong Sup Shim and Bong Hwa Park

Dept. of Chemical Technology, Seoul National University, Seoul, Korea

(Received June 19, 1981)

요지 : Novolacs와 tolylenediisocyanate를 반응시켜 Polyurethane을 합성하고 이의 物性을 조사한 바 우레탄 含量이 적으면 脆弱한 赤褐色이었으나 增加함에 따라 黃色을 거쳐 微黃色으로 變하였고 硬度도 增加하였으며 sol 分率은 急激히 減少하여 TDI 0.5當量에서 7.1%이었다. DTA에 依한 吸熱轉移點은 $T_1=110\sim150^\circ$, $T_2=225\sim265^\circ$, $T_s=400^\circ$ 부근이고 X-선 회절에 結晶性을 보여주었다. TDI當量 0.5以上에서는 free NCO group의 存在함을 IR spectra로 確認하였다.

ABSTRACT: Polyurethanes based on novolac-tolylene diisocyanate (TDI) were prepared to examine industrial applications and their physical properties were determined.

The novolac-TDI based polyurethanes were brittle, tough and transparent, coloring reddish brown to faint yellow with the increase of urethane content. Sol fraction was sharply decreased with the increase of TDI content, showing easy formation of the polymer networks with novolac macromers. The hardness was increased with the urethane content. The thermal transition behavior was determined by differential thermal analyzer and found three distinct endothermic regions: $T_1=110\sim150^\circ\text{C}$, $T_2=225\sim265^\circ\text{C}$ and $T_s=\text{around }400^\circ\text{C}$. The network formation seems to complete at 0.5 equivalent of TDI to novolac. The crystallinities were found on X-ray diffraction diagrams. IR spectra showed deep free NCO group at 4.4μ on the samples prepared with the excess of TDI equivalent but disappeared below 0.5 equivalent.

1. 緒 論

酸性 촉매下에서 phenol과 formaldehyde를 反應

시켜 얻은 novolac 수지를 tolylene diisocyanate (TDI)와 반응시켜 polyurethane을 합성하였다.

novolac樹脂는 縮合後에도 OH基가 그대로 残存

심정섭 · 박봉화

하고 있음에 着眼하여 이를 polyurethane 合成時 水素供與體로써 使用하면 分岐度를 任意로 調節 할 수 있을 것이라는 推定아래 著者は 우선 novolac과 TDI와의 反應에 關한 기초 研究로서 이의 反應機構를 檢討하고 TDI와 novolac의 비율에 따른 重合體의 物性의 變化를 調査한 結果 여러 가지 재미있는 特性을 알아 내었다.

2. 實驗

2.1 試藥

Phenol : 日本 Hayashi Pure Chemical 社製 試藥 1級

Formaline : 日本 昭和化學社製 試藥 1級

Oxalic Acid : 日本 關東化學社製 特級 試藥

Tolylene diisocyanate(TDI) : 日本 三井東亜社製 TDI-80(2,4-TDI 80%, 2,6-TDI 20%)를 再蒸溜하여 使用하였다.

Methyl ethyl keton(MEK) : 日本 關東化學社製 試藥 1級

Tetrahydrofuran(THF) : 日本 關東化學社製 HLC-Sol 高速液體크로마토그램用 RI(n_D^{20}) : 1.406~1.408

2.2 Novolac의 合成

Phenol 130g(1.38mol), formaldehyde(37%) 92.4g(1.14mol)을 oxalic acid 1g과 함께 逆流 condenser, 攪拌機 및 温度計를 붙인 三口 flask에 넣고 30分間 加熱還流시킨 후 다시 oxalic acid 1g을 添加하여 1시간 더 加熱還流시켰다¹. 加熱을 中斷하고 50°C까지 放置冷卻後 이 反應生成物을 蒸溜水 약 400ml에 부어 넣고 교반하여 放置하면 上層에 물과 下層에樹脂로 分離되는데 이것을 傾斜法으로 따라 내었다. 이와같은 操作을 거듭하여 樹脂中에 殘存하는 未反應 phenol formaldehyde 및 촉매를 洗滌해낸 다음 減壓(50 mmHg)下에서 水分을 除去하고 계속 加熱하여 120°C까지 温度를 올려 未反應物質 및水分을 完全히 除去하였다.

Table I. Polymerization Formulation of Novolac-TDI based polyurethanes.

| Sample | Novolac (g) | TDI (g) | Novolac/TDI** |
|--------|----------------|------------|---------------|
| NT* 1 | 1.2 | 0.122 | 1 : 0.125 |
| NT 2 | 1.2 | 0.244 | 1 : 0.250 |
| NT 3 | 1.2 | 0.488 | 1 : 0.500 |
| NT 4 | 1.2 | 0.854 | 1 : 0.875 |
| NT 5 | 1.2 | 1.22 | 1 : 1.250 |
| NT 6 | 1.2 | 1.83 | 1 : 1.875 |
| NT 7 | 1.2 | 2.44 | 1 : 2.500 |

* NT: Novolac-TDI based polyurethanes

** Equivalent Ratio

2.3 Polyurethanes의 合成

2.3.1 Novolac-TDI系 Polyurethanes

實驗 2.2에서 얻은 novolac 樹脂를 MEK에 녹여 30% 溶液을 만든 후 TDI를 各種 比率로 (Table I) 添加하여 얻은 透明溶液을 유리板(10cm×10cm)에 부어 約 1mm 두께로 全面에 펼고 끓여 퍼지게 한 다음 空氣乾燥器에 넣고 溶劑를 蒸發시킨 後 繼續하여 120°C를 維持하면서 8時間 反應을 시켜 얻은 polymer를 粉末 또는 film狀으로 만들어 試驗에 使用하였다.

2.4 物性의 測定方法

2.4.1 分자량 측정

Beckmann 응고점 측정장치를 便用하여 dioxane에 對한 水點降下를 측정하였다.

2.4.2 MEK 용해 Sol 分率

微粉碎試料 約 0.5g을 秤量하여 徑 1.5cm, 길이 20cm의 試驗管에 넣고 MEK 10ml를 注入한 後 고무마개를 하고 혼들면서 1晝夜放置하였다가 미리 秤量해 둔 濾紙로 걸른 후 恒量이 될 때까지 105°C에서 乾燥秤量하였다.

Sol 分率은 다음 式에 依하여 計算하였다.

$$\text{Sol\%} = \frac{\text{wt. of sample} - \text{wt. of residue}}{\text{wt. of sample}} \times 100$$

2.4.3 元素分析

Yanaco Model MT-2를 사용, carrier gas 180 ml/min, oxygen 18ml/min, 氣壓 755mmHg, Combustion 820°C, reduction 550°C, detector 550°C, bridge current H 70mA, C 90mA, N 170 mA의 條件下에 分析하였다.

2.4.4 硬 度

경도가 작은 것은 Shore Durometer(ASTM D 1706)를, 경도가 큰 것은 Rockwell 便度試驗機 (ASTM D 785)를 使用하였다.

2.4.5 分子量分布

Gel permeation chromatogram에 依하였다. Waters Associates製 Model 200을 便用하고 試料를 THF 0.25% 溶液으로 하여 150 μ l를 注入, sensitivity 8X, solvent flow rate 2ml/min, recording speed 1cm/min, column은 μ -Styragel 500Å 10³, 10⁴, 10⁵Å 및 precolumn을 付着하고 ARI를 測定하였다.

2.4.6 IR Spectra

JASCO DS 403G Infrared Spectrometer로 쌍薄膜 또는 KBr pellet로 하여 測定하였다.

2.4.7 X-ray 回折

Rigaku denki製 diffractometer, wide angle

Goniometer SG7 X-ray tube Cu target($K_{\alpha}=1.54\text{\AA}$ 30KV 30mA)를 使用하였다.

2.4.8 热轉移特性

Differential thermal analyzer (Shimadzu製 Model DT 2B)를 使用하고 加熱速度는 20°C/min로 하고 空氣中에서 實施하였다.

2.4.9 粘 度

Fisher社製 Ubbelohde 粘度計 50—1205를 使用하여 acetone溶液 1~0.1%로 하여 30°C에서 측정하였다.

3. 結果 및 考察

3.1 Novolac의 物性

2.2에서 언은 novolac의 水点降下法(dioxane 용매)에 依한 數平均 分子量은 620이 있다. acetone溶液을 使用하여 30°C에서 極限粘度[η]를 測定한 結果 3.8을 얻었으며, Kamide² 등이 novolac樹脂에 對하여 Mark-Houwink式 [η]= KM^a 에서 $K=0.631$ $a=0.28$ ($370 \leq M_n \leq 28,000$ for random novolacs)의 値을 얻었는데 이 値을 引用하여 粘度 平均分子量을 計算한 結果

$$M_n = 609$$

를 얻었다.

novolac의 元素分析值는 C:78.2%, H:5.3%, O:16.4%이었다. 또한 IR spectrum은 Fig. 1과

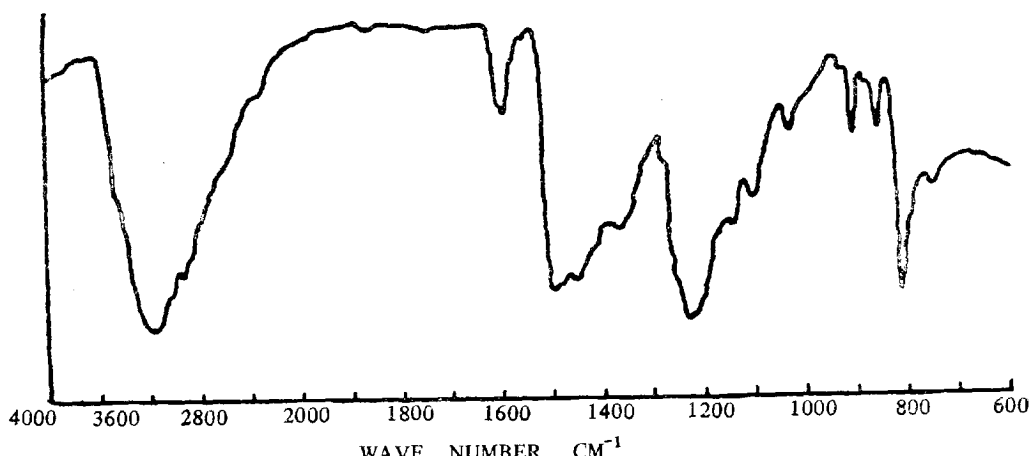
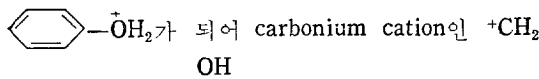


Figure 1. IR Spectrum of Novolac

같다. 695cm^{-1} band의 消失로 free phenol은 完全히 除去되었음을 알았고 885cm^{-1} 에 약한 흡수 band는 3置換 isomer가 존재함을 의미하며 820cm^{-1} 의 ortho-para의 吸收가 강렬한 것은 酸性 측면下에서는 ortho보다 para位置의 methylene 化反應이 20~40倍나 빠르기 때문이다³⁻⁷.

酸性下에서는 phenol 自身이 H^+ 를 取하여



OH 또는 와 陽電荷끼리 반발하여 ortho 位置보다 para 位置에 反應이 쉽게 일어나

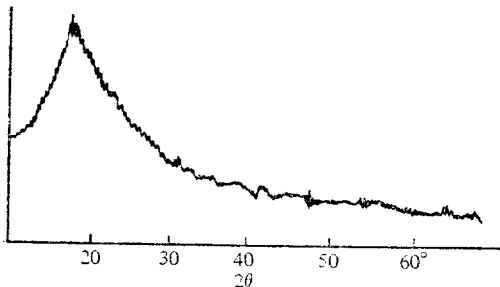


Figure 2. X-ray Diffraction Diagram of Novolac.

며 또한 커다란 cation일수록 이 立體 장해 效果를 받아 para 配向性으로 기울어진다고 생각된다⁸.

X-ray diffraction diagram을 Fig. 2에 나타내었는데 결정성임을 알 수 있다.

Gel permeation chromatogram에 의한 分子量分布는 Fig. 3과 같으며 거의 正規分布를 보여주었다.

3.2 反應機構

Phenol은 aliphatic alcohol에 比해 酸性이 強한便이어서 당연히 反應도 느린다. 大部分의 phenol類는 isocyanate와 反應할 때 $50\sim75^\circ\text{C}$ 에서도 반응이 느리므로 tertiary amine이나 aluminum chloride 등 촉매를 使用하지만⁹⁻¹⁰ 이로부터 合成한 novolac 수지는 methylene 結合으로 이어진 벤젠核이 입체장해로 因하여同一 평면상에 있지 않고 비틀려진 상태로 있으므로¹¹⁻¹² phenol OH基의 酸性이 低下함으로써 phenol 單獨 때 보다도 容易하게 反應이 일어난다고 생각된다. 더구나 random novolac에서는 ortho-ortho보다는 ortho-para 또는 para 位置에 置換이 많기 때문에⁴⁻⁵ OH

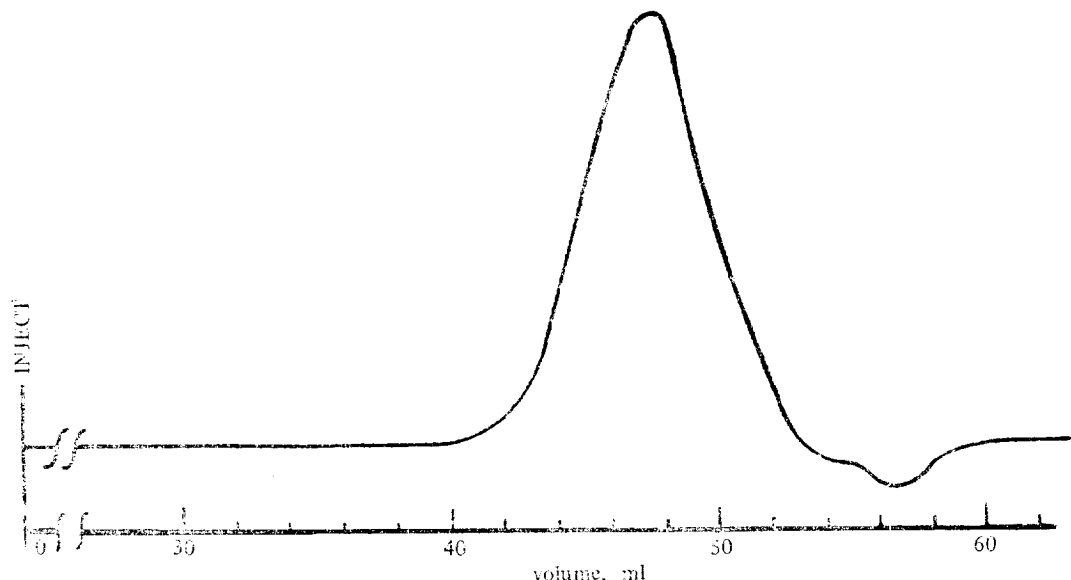
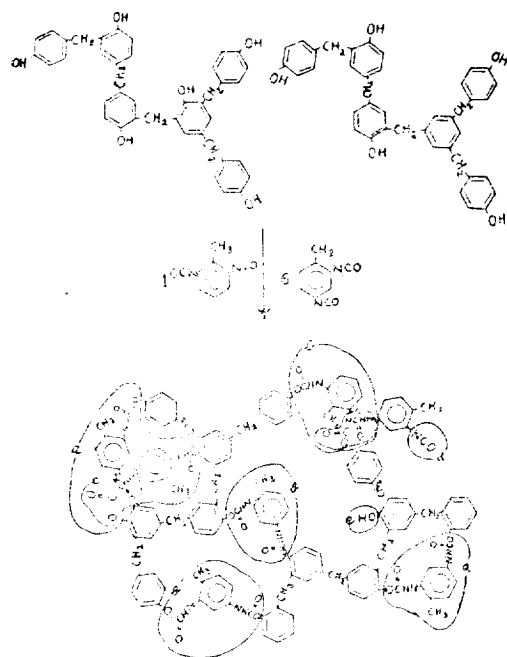


Figure. 3 Gel Permeation Chromatogram of Novolac.

—Novolac 系-TDI 系 Polyurethane에 관한 연구—

基로 볼때는 입체장애가 가장 적은 플로 결합된 것으로 생각된다.

分歧를 하나 가진 6核 novolac의 模型으로 novolac-TDI系 polyurethanes의 反應을 고찰해 보면 다음과 같다.



여기서 a部分은 分子內結合, b部分은 分子間結合, c部分은 allophanate, d部分은 free NCO, e部分은 free OH基를 나타내었다. 勿論 여기에 표시된 벤젠핵은同一平面上이 아니고相互영률 어진 상태에서의 立體網狀구조로 보아야 한다.

3.3 Novolac-TDI系 Polyuretanes膜의 特性

實驗 2.3에서 합성한 novolac-TDI系 polyurethanes의 얇은 膜에 대한 성질을 조사하여 다음 Table II에 나타내었다.

一般的으로 novolac이나 polyurethane은 大部分의 物質의 wettability가 좋아 유리板에 흘려 부어도 궁금음이 없이 골고루 펴지게 되어 均一한 얇은 膜을 얻기가 쉬었다. 또한 TDI는 novolac과 相溶性이 좋아서 이 混合物을 유리板上에 부어 薄膜重合을 시키는데 편리하였다. Table II를 보

Table II. General Characteristics of Novolac-TDI based polyurethanes

| Samples | Novolac/TDI | Color | Opaqueness | Cracks |
|---------|-------------|---------------|-------------|--------|
| NT 0 | 1 : 0 | Reddish brown | Transparent | No |
| NT 1 | 1 : 0.125 | Brown | Transparent | No |
| NT 2 | 1 : 0.250 | Orange | Transparent | No |
| NT 3 | 1 : 0.500 | Orange | Transparent | No |
| NT 4 | 1 : 0.875 | Light orange | Transparent | Yes |
| NT 5 | 1 : 1.250 | Yellow | Transparent | Yes |
| NT 6 | 1 : 1.875 | Yellow | Transparent | Yes |
| NT 7 | 1 : 2.500 | Light yellow | Transparent | Yes |

면 重合體는 모두가 透明하였고 色은 頑淡색에서 TDI量이 增加함에 따라 orange色을 거쳐 微黃色으로 변하였다.

한편 경도를 측정하여 다음 Table III에 나타내었다. Table III를 보면 순수한 novolac은 脆弱하였으나 TDI量이 증가함에 따라 硬度가 매우 높아지고 強韌해짐을 알 수 있었다. Novolac은 分子量이 작고 繖密한 球狀이며 廣範圍한 分子量分布를 가진 混合體이므로 當然히 脆弱할 것으로豫測되지만, TDI와 反應시켜 hydroxyl基를 urethane結合으로連結시키면 巨大한 多核 高分子體가 形成될 것이므로 TDI의 量이 增加함에 따라 線狀 polymer는 減少하고 network는 커지게 되어 硬度는 漸次로 높아지게 되는 것으로 생각된다.

이 實驗을 通하여 novolac-TDI系 重合體는 塗

Table III. Hardness of Novolac-TDI based polyurethanes

| Samples | Novolac/TDI | Hardness |
|---------|-------------|----------|
| NT 0 | 1 : 0 | D 50 |
| NT 1 | 1 : 0.125 | R 110 |
| NT 2 | 1 : 0.250 | L 85 |
| NT 3 | 1 : 0.500 | M 40 |
| NT 4 | 1 : 0.875 | M 95 |
| NT 5 | 1 : 1.250 | M 110 |
| NT 6 | 1 : 1.875 | E 58 |
| NT 7 | 1 : 2.500 | E 95 |

a: D:Shore Durometer hardness

R,L,M and E:Rockwell hardness

膜에 flexibility를 줄 수 있도록 modify하면塗料로서의應用可能性도 엿보인다.

3.4 結晶性

Novolac은 광범위한 分子量分布를 가지고 또한同一分子量에도 많은異性體가存在하나 methylene基로連結되는 phenol核이反復單位가 되므로¹³ X-선廻折圖에結晶性을 나타내었으며(Fig. 2) DTA thermogram에서 T_1 흡열전이를 나타내었다(Figs. 7, 8).

TDI를 0.125當量添加하여 novolac의一部를架橋시킨 NT 1에서나當量의 2.5倍를 넣어完全架橋시킨 NT 7에서도結晶性은 그대로 유지되었다(Figs. 4, 5).

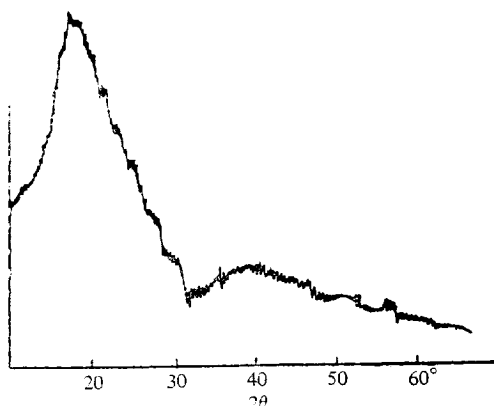


Figure 4. X-ray Diffraction Diagram of Novolac-TDI based polyurethanes
(TDI/novolac=0.125)

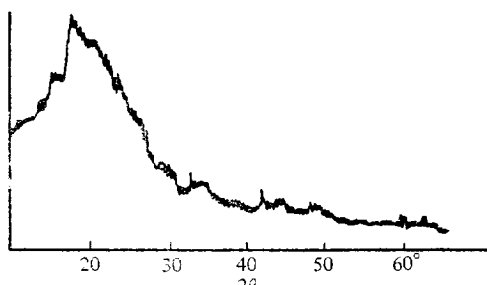


Figure 5. X-ray Diffraction Diagram of Novolac-TDI based polyurethanes
(TDI/novolac=2.5)

3.5 Sol分率

Sol分率을 측정한 결과를 Table 4 및 Fig. 6에 나타내었다.

Smith 등¹⁴은三官能基인 trimethylol propane (TMP)을架橋劑로一定量(PPG/TMP=1/0.25) 사용한 TDI-PPG系의彈性體에 대하여 NCO/OH가높을수록sol分率은감소한다고하였는데sol分率은三次元網의構造 및生成 정도에 따라변화할것이예측된다. 여기에서는NCO/OH가0.925에서도sol分率이29%나되는데本研究에서는NCO/OH가0.25에서이미26.8%로減少하였고0.875에서는거의網狀化가完了하여2.2%의sol分率을나타낼뿐이었다(Fig. 6).

一般的으로polyurethane은NCO/OH>1에서gel이生成되고NCO/OH<1에서는sol分率이많아不完全한network가形成된다고한다. Novolac-TDI系에서는NCO/OH=0.125에서이미약1/4이gel化하였고NCO/OH=0.5에서는거의大部分이網狀化하였는데novolac을MEK에녹인다음TDI를添加하면2官能基의TDI는多官能novolac分子사이에끌고루확산하며이때溶劑를蒸發시키고反應시키면더욱network가쉽게形成되어치밀한三次元高分子體가形成되기때문이다.

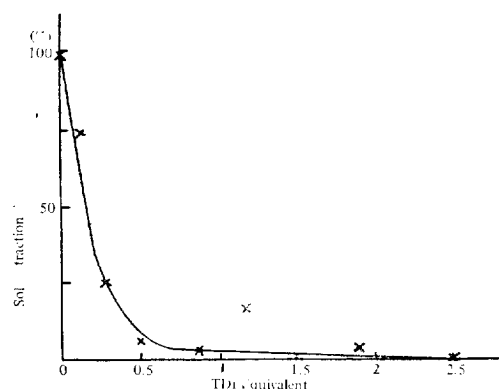


Figure 6. Sol fraction of polyurethanes based on Novolac and TDI.

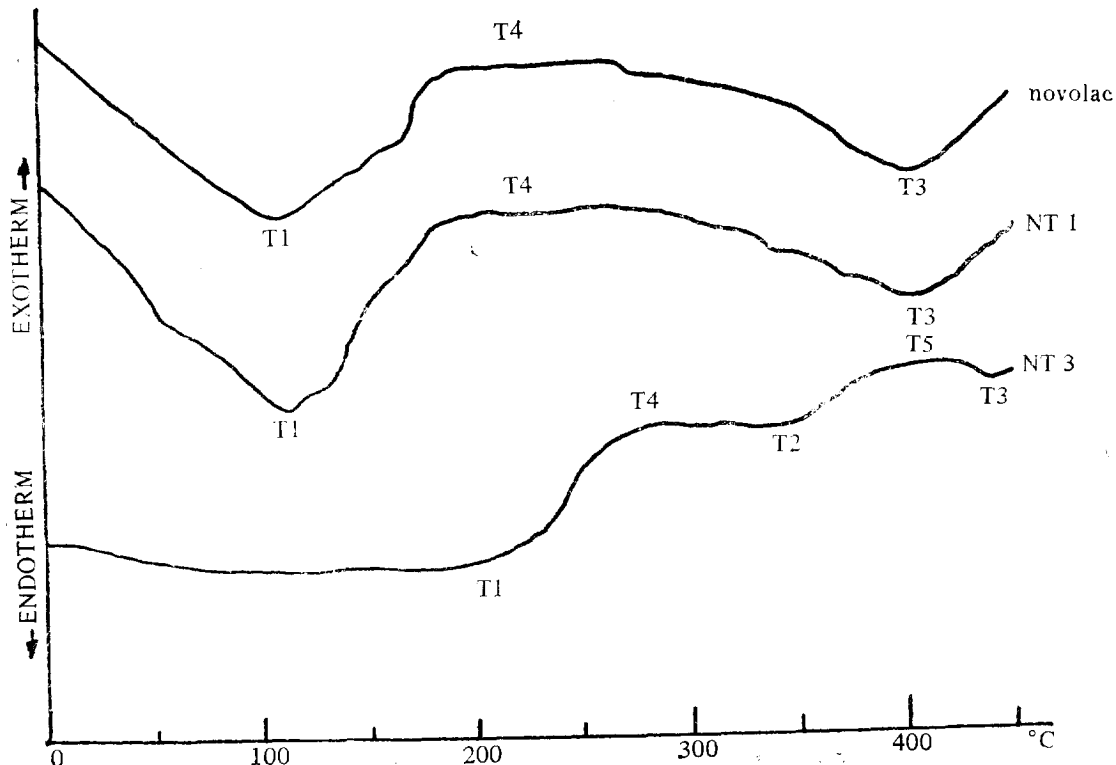


Figure 7. DTA thermogram of Novolac-TDI based polyurethanes
(TDI Equivalent : $NT_1 = 0.125$, $NT_3 = 0.5$)

3.6 热轉移特性

Novolac-TDI系 polyurethane의 DTA curve를 Fig. 7, 8에 제시하였다. 우선 순수한 novolac의 열전이특성을 볼때 110°C 에서 T_1 吸熱轉移가 있고 400°C 에서 T_2 轉移를 보여 주었다.

Chow 등¹⁶⁾ DSC를 이용하여 phenol-formaldehyde 수지의 DSC thermogram으로부터 얻은 결과와 일치한다. Novolac은 110°C 에서 연화점을 나타내고 400°C 에서 分解가 일어난다고 생각된다.

Novolac은 서로 엉클어진 상태에서 均衡을 이루고 結晶狀態에 있다가 加熱에 의하여 分子鎖가 弛緩하게 된다. 이때 系에는 吸熱이 일어나게 되며 (T_1), 더욱 가열하면 이 완된 분자쇄들은 심한 운동을 계속하다가 高温에 이르면 分子의 分解 및 蒸發이 일어나 또다시 吸熱現象이 나타난다고

본다. TDI를 0.125當量 添加하여 一部架橋시킨 polymer에서는 domain 構造에는 큰 變化가 없고 순수 novolac과 거의 같은 거동을 보여 주었다 (Fig. 7). 다만 T_1 에서의 이 완吸熱度가 novolac에 比해 깊은데 이는 일부 網狀化되었기 때문에 이 완에 더 많은 energy가 所要됨을 의미한다고 본다. 그리고 分解開始溫度에 있어서 novolac의 270°C 보다 若干 높은 290°C 에서 始作되었다.

Fig. 7의 NT 3 Curve를 보면 190°C 까지는 微微한 吸熱現象을 나타내고 280°C 부터는 340°C 까지 平垣하였으며 그 後부터는 서서히 發熱現象을 나타내지만 (T_5), T_5 흡열전이는 440°C 부근으로 높아졌다.

Novolac을 TDI로 架橋網狀化시키는데 novolac에 대하여 0.875當量으로 充分했지만 (3.5 참조), 이 경우에도 TDI의 모든 isocyanate基가 反應에 參與하는 것이 아니라 一部는 free-isocyanate-

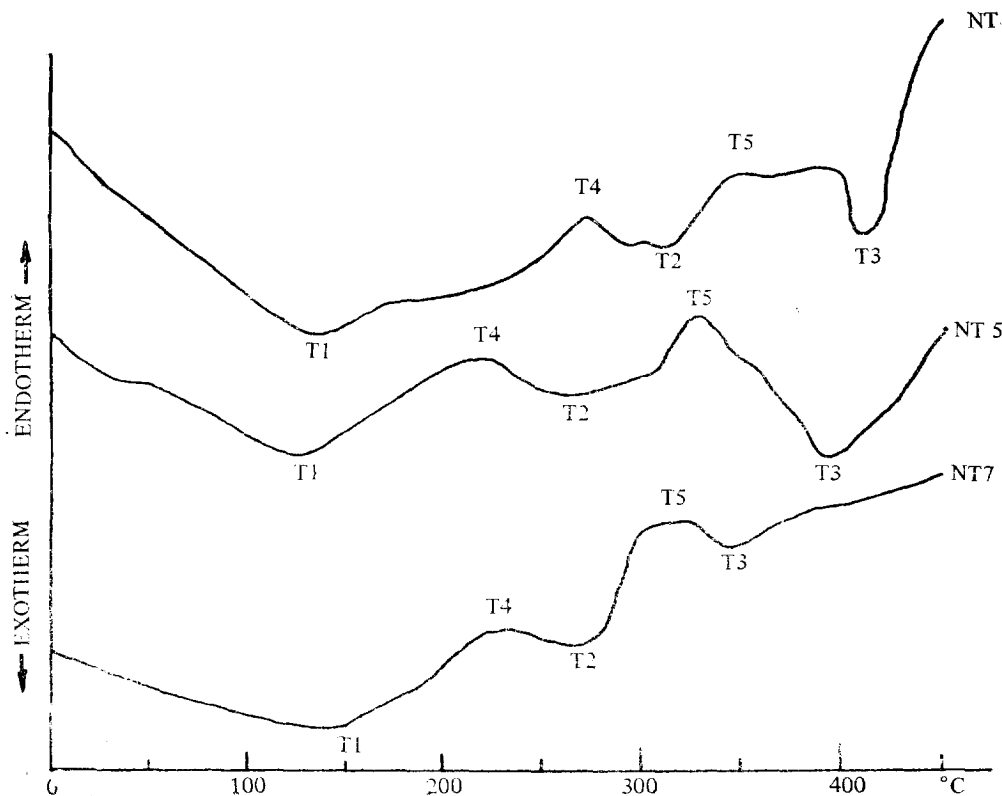


Figure 8. DTA thermogram of Novolac-TDI based polyurethanes
(TDI Equivalent : $NT_4 = 0.875$, $NT_5 = 1.250$, $NT_6 = 2.5$)

基를 가지고 있음을 IR spectra로 확인했으며 (Fig. 9), 설혹 domain의 解離는 없을지라도 分子內部의 free end의 運動이 甚하여 未反應 isocyanate 基와 hydroxyl 基가 結合하여 intramolecular 反應이 進行됨으로써 二次網狀化가 發生한다고 볼 수 있다.

TDI當量이 0.875以上에서는 T_2 흡열전이가 생기고 發熱 peak도 두점이 나타났다.

일반적으로 polyurethane은 240~250°C로 가열하면 분해하여 일부는 isocyanate基의 trimer가 생성한다고 한다¹⁶. 따라서 T_2 흡열전이는 過剩 isocyanate로 만든 polyurethane이 255~265°C에서 분해하는 점으로 추정된다. T_3 분해전이점은 대체로 400°C 부근인데 NT 7에서는 340°C로 대

우 낫다. TDI當量이 2.5배로 過剩하게 投入되었으므로 분해가 비교적 低温에서 일어났다고 생각된다.

以上을 綜合하여 보면, TDI의 量이 增加함에 따라 轉移溫度가 上昇하였는데 TDI 0.5當量에서 peak를 보인 後 1當量 부근에서는 오히려 약간下降하였다 (Fig. 10).

3.7 分子量分布(THF可溶分)

TDI量에 따른 分子量 分布의 動向을 定性的으로 解釋하였고 아울러 생성된 polyurethane中에 TDI의 殘存有無를 調査하였다. Novolac-TDI系 polyuretanes의 THF 可溶分에 대한 GPC Chromatogram을 Fig. 11에 제시하였다. Fig. 11에

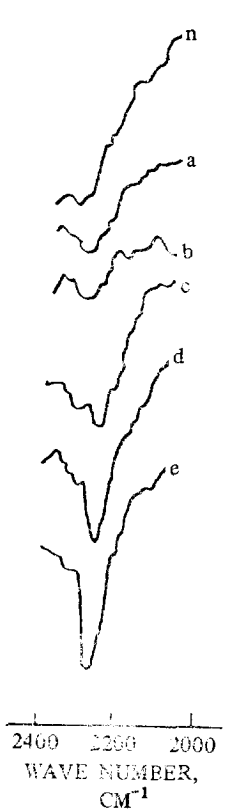


Figure 9. IR Spectra showing free NCO Group in Novolac-TDI based polyurethanes. TDI/novolac Ratio:
n : novolac, a : 0.125, b : 0.500, c : 0.875
d : 1.250, e : 2.500

서 보는 바와 같이 TDI는 全量 反應에 參與하고 free TDI monomer는 當量의 2.5倍에서도 볼 수 없었다.

但, a 및 b는 THF에 거의 完全히 溶解하였으므로 이 curve는 곧 分子量 分布를 나타내며 skewness가 低分子量 쪽으로 기울어져 있고 b에서는 分子量이 a보다 높은 高分子體가 生成되었을 뿐 아니라 더 广泛한 分子量 分布를 보여 주었다.

대체로 TDI量의 增加에 따라 可溶性 高分子體는大幅 減少하는 경향이며 g에서는 전혀 不溶이었다. 이는 MEK에 대한 sol分率과 같은 現象을 보여 주었다.

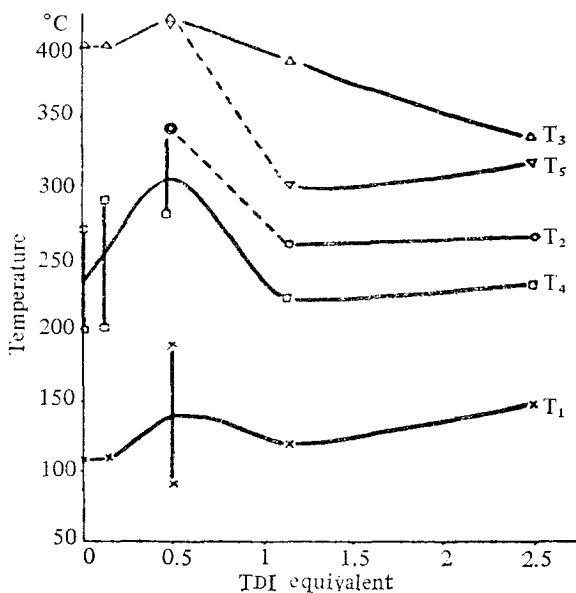
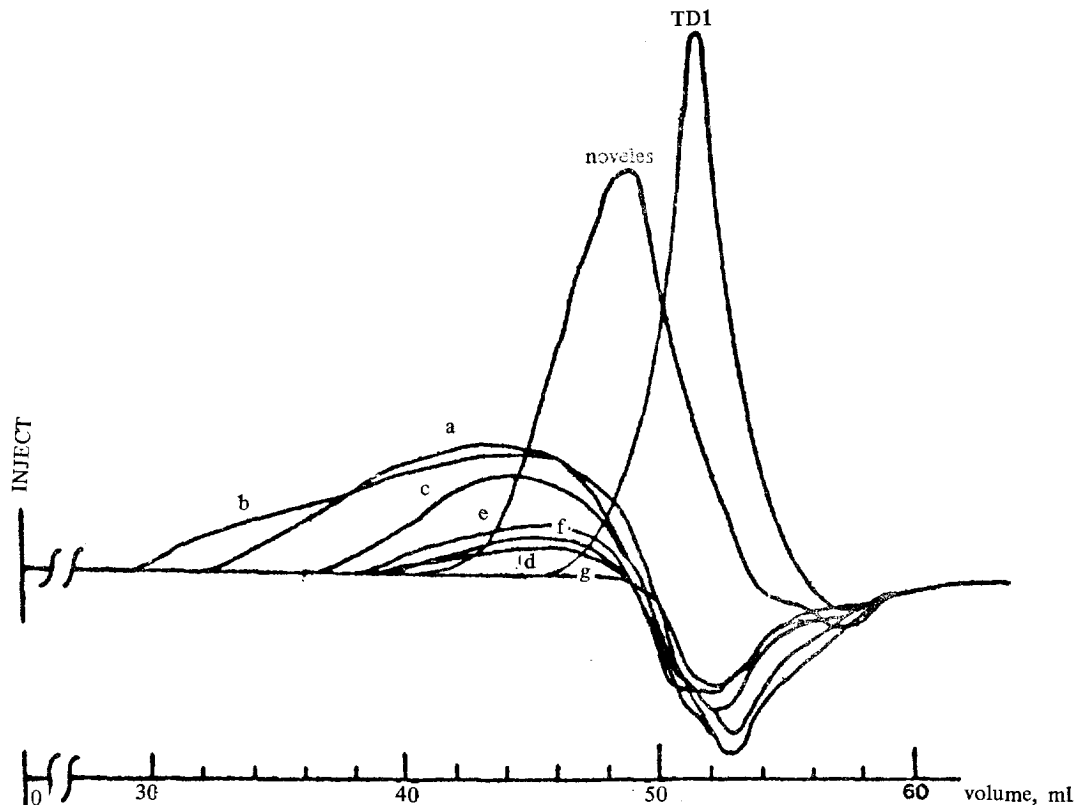


Figure 10. Thermal transition temperature vs. TDI Concentration in Novolac-TDI based polyurethanes.

T_1, T_2, T_3 : Endotherm
 T_4, T_5, T_6 : Exotherm

TDI當量 0.5이 상에서는 분자량 3×10^6 이 상의 거대한 분자와 저분자량의 polymer가 生成될 뿐 a나 b에서처럼 가용성 고분자체는 생성되지 않는다는 것은 polyurethane 生成시 novolac이 MEK를 용매로 하여 용해되어 있는 가운데 TDI monomer가 균일하게 용해되었다가 MEK의 증발과 더불어 反應을 개시하게 되며 일단 반응을 하면 同時に network가 형성되어 未反應 또는 저분자 分岐선상 macromer의 行動이 자유롭지 못하여 그대로 남아 있다가 용매에 용출되는 것으로 풀이된다.

TDI當量 0.25이 하에서는 TDI가교체가 부족하여 불완전한 network와 線狀 polymer가 生成되고 TDI當量 1.25에서는 free isocyanate capped polymer와 network가 同時に 生成되므로 (Fig. 12), 行動이 자유롭지 못하여 free isocyanate와 OH가 만나서 反應할 기회가 없으나 TDI當量이 더욱 증가함에 따라 free NCO capped linear 폴리우레탄의 殘存 OH는 NCO와 접촉할 기회가 많



TDI/novolac eq. Ratio a=0.125 b=0.250 c=0.500 d=0.875 e=1.250 f=1.875 g=2.500

Figure 11. GPC Chromatograms of Soluble parts of Novolac-TDI based polyurethanes

아직으로 network 형성이 활발해지고 비록 free NCO를 함유하고 있지만 (Fig. 9) network는 완전하여 不溶의 고분자체가 생성되었다고 본다.

3.8 水素結合

Sung¹⁷은 2,4 및 2,6-TDI의 polyether系 폴리우레탄의 水素結合에 관한 연구에서 $3,300\text{cm}^{-1}$ 부근에 水素結合 NH基, $3,460\text{cm}^{-1}$ 부근에 非水素結合 NH基로 구별하였으며, McKnight¹⁸는 室温에서 고체 polyurethane의 NH基 95%가 水素結合하였다고 한다. Carbonyl部位의 흡수 band는 peak가 2개로 갈라지는데 2,4-TDI基 polymer에서는 $1,740$ 및 $1,720\text{cm}^{-1}$, 2,6-TDI基에서는 $1,740$ 및 $1,700\text{cm}^{-1}$ 에 나타났고, Cooper¹⁹은 $1,703\text{cm}^{-1}$ 을 水素結合 carbonyl, $1,733\text{cm}^{-1}$ 을

free-carbonyl이라고 해석했다.

GPC curve(Fig. 11)에서 TDI monomer가 완전히 소진되었음을 확인했고, Fig. 9에서 보는 바와 같이 free NCO band $2,240\text{cm}^{-1}$ 는 TDI當量 0.5까지는 나타나지 않았고 0.875에서부터 나타나기 시작하였다. 따라서 free phenol OH基도 存在한다고 보아야 한다.

即, novolac은 가교제인 2官能性 TDI에 의하여 쉽게 network가 形成되므로 아직 未反應 OH基와 free NCO가 残存해 있음에도 불구하고 이들 free 反應基는 행동이 자유롭지 못하고 또한 立體障礙 때문에 서로 反應할 기회가 없다고 생각된다. 가교제가 當量의 2.5배 일때는 network 형성에 參與한 나머지 isocyanate는 free NCO end 또는 allophanate의 풀로 存在할 수 밖에 없다.

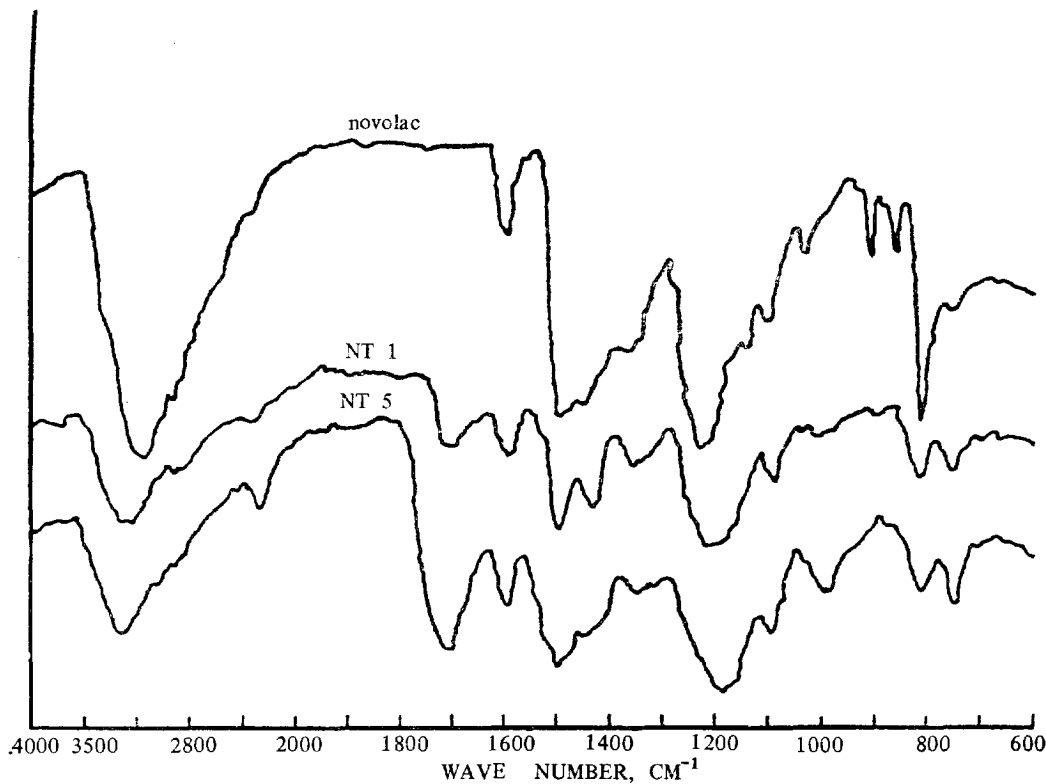


Figure 12. IR Spectra of Novolac-TDI based polyurethanes

NT1 : TDI/novolac=0.125

NT5 : TDI/novolac=1.250

NH band는 $3,300\text{cm}^{-1}$ 에만 나타났는데 $3,440\text{cm}^{-1}$ 부근에 흡수 band가 없는 것으로 보아 생성된 urethane의 모든 NH基는 hydrogen bond로 결합되어 있다고 본다(Figs. 12, 13, 14). Novolac의 OH基는 $3,200\text{cm}^{-1}$ 에 강력히 나타났는데 urethane 결합이 생성되면서 $3,300\text{cm}^{-1}$ 로 shift된 것을 본다(Figs. 13, 14). 水素結合된 carbonyl band는 $1,715\text{cm}^{-1}$ 부근에 broad하게 나타났는데 (Fig. 15), 2,4-TDI 및 2,6-TDI의 혼합체이기 때문에 $1,740\text{cm}^{-1}$ 부근의 shoulder¹⁷는 非水素結合 carbonyl의 存在함을 나타낸다.

본 연구에서는 soft segment가 전혀 없는 폴리우레탄으로써 ether基는 다만 urethane alkoxy ether 뿐이므로 novolac-TDI系 폴리우레탄에서는 $1,180\text{cm}^{-1}$ 부근에 alkoxy ether와의 水素結合이

存在한다고 본다.

Haslem²⁰은 novolac의 CO band를 $1,250\text{cm}^{-1}$ 에서 얻었는데 본 연구에서는 $1,230\text{cm}^{-1}$ 에 강하게 나타났으며(Figs. 1, 16), urethane 결합이 증가함에 따라 점차 $1,180\text{cm}^{-1}$ 로 shift하여 (Fig. 16), TDI當量이 0.875 이상에서는 모두 $1,180\text{cm}^{-1}$ 부근에 강하게 나타났다(Fig. 17). 즉 urethane 함량이 적을 때는 NH 水素結合이 주로 carbonyl基에서 일어나지만 urethane 함량이 증가함에 따라 alkoxy ether基도 증가하기 때문에 이에 대한 NH 水素結合도 상당한 영향을 준다고 생각된다.

4. 結 論

一連의 novolac-TDI系 polyurethanes을 合成하고 이의 物性을 조사하여 그 反應 기구와 工業的

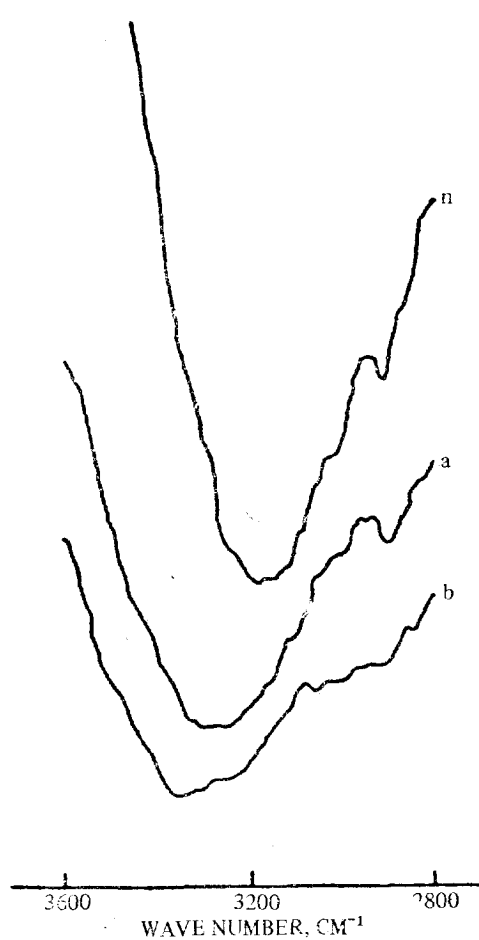


Figure 13. IR Spectra showing NH Regions in Novolac-TDI based polyurethanes of low urethane content.
n : novolacs, a : 0.125, b : 0.500

應用가치를 검토한 바 다음과 같은 결론을 얻었다.

- Novolac을 합성하여 이의 物性을 조사한結果數平均分子量 620, 分子量分布는 正規曲線이었고, DTA thermogram은 110°C와 400°C에 吸熱點이 나타났으며 X線回折에 結晶성을 보여주었고 IR spectra 820cm⁻¹에 para 또는 ortho-para의 強한吸收가 있었고, 885cm⁻¹에若干의 3置換isomer를 나타내어 分岐가 있음을 確認하였다.

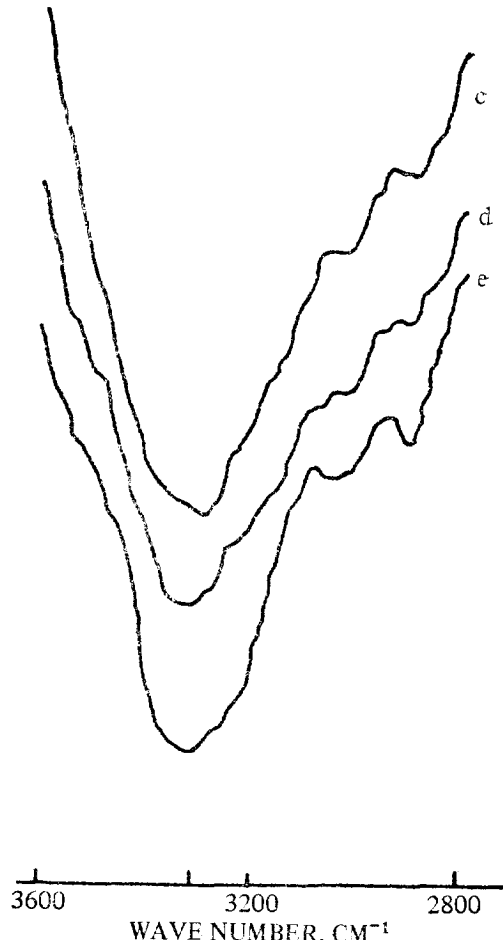


Figure 14. IR Spectra showing NH Regions in no-volac-TDI based polyurethanes of high urethane content. TDI/novolac Ratio: c=0.875, d=1.250, e=2.500

2. MEK에 대한 sol分率은 TDI의 증가에 따라急速度로 減少하였으며 TDI當量 0.5일 때 7.5%로써, network 형성이 일반 polyol에 비해 훨씬 용이함을 알았다.

3. GPC에 依하여 THF 可溶分에 대한 分子量分布를 조사한 바 TDI當量이 작을수록 광범위한 分子量分布와 高分子體를 含有하였고 TDI當量이 增加함에 따라 低分子量의 分布를 보여 주었으며, 고분자량체는 나타나지 않았다.

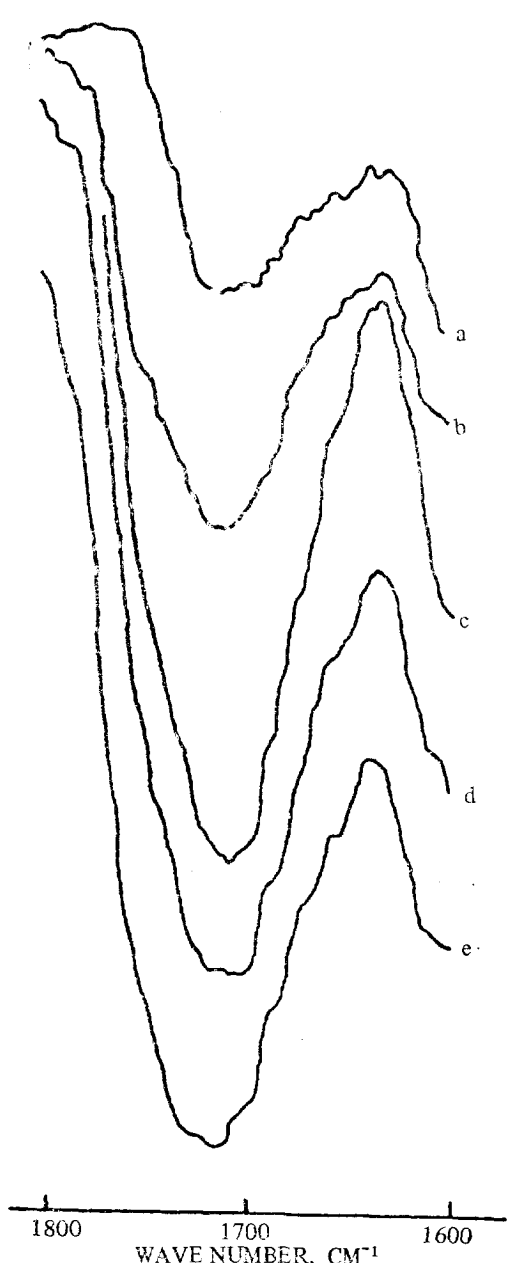
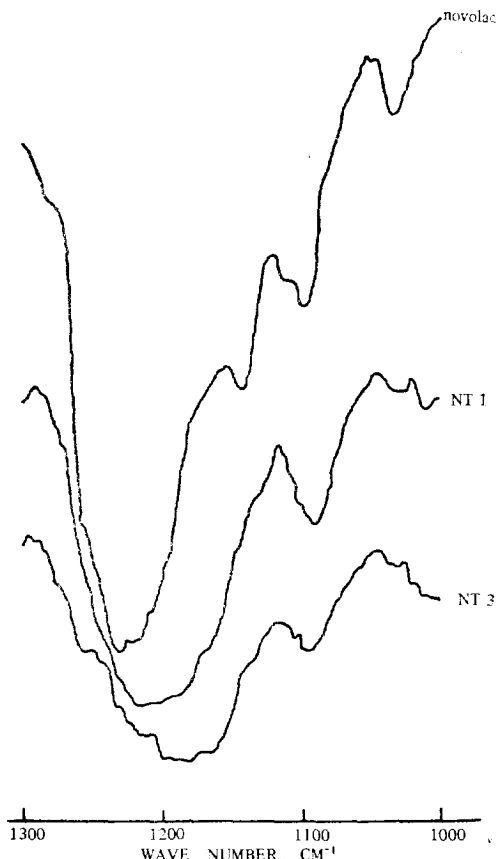


Figure 15. IR Spectra showing Carbonyl Regions in Novolac-TDI based polyurethanes.

TDI/novolac Ratio :
a : 0.125, b : 0.500, c : 0.875, d : 1.250,
e : 2.500



Figur 16. IR Spectra showing ether regions in Novolac-TDI based polyurethanes of low urethane content.

TDI-novolac Ratio :
NT 1=0.125, NT 2=0.500

4. TDI/novolac 當量比 0.875 이상에서는 IR spectra의 free NCO band를 보여 주었는데 이는 未反應 TDI monomer가 아니고 결합된 free NCO ended polyurethane임을 GPC curve에서 확인하였다. 또한 TDI量의 증가에 따라 sol 분률의 감소도 이를 뒷받침한다.

5. Urethane NH基의 IR spectrum은 $3,300\text{cm}^{-1}$ 에서만 나타났으므로 전부 hydrogen bond임을 알았다.

6. DTA에 의한 흡열전이온도는 $T_1=110\sim 150^\circ\text{C}$, $T_2=255\sim 265^\circ\text{C}$, $T_3=400^\circ\text{C}$ 부근에 있었

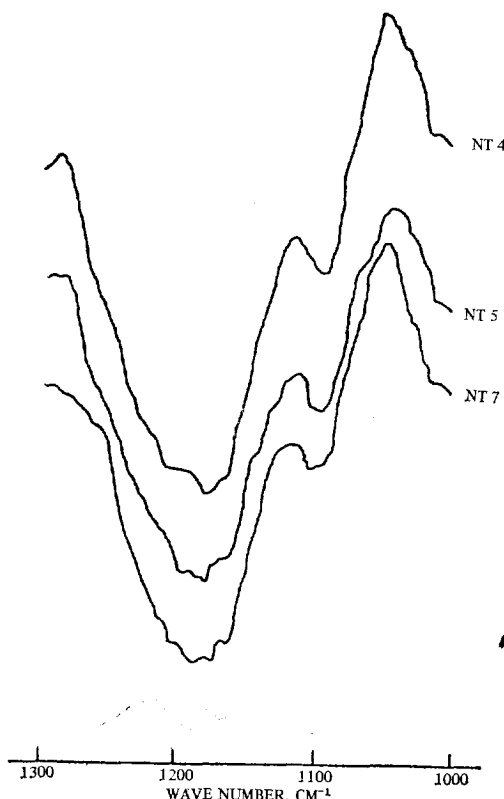


Figure 17. IR Spectra showing ether regions in Novolac-TDI based polyurethanes of high urethane content.

NT 4 : TDI/novolac = 0.875
NT 5 : TDI/novolac = 1.250
NT 6 : TDI/novolac = 2.500

는데 TDI가 2.5배 당량에서는 335°C 에 염화수소가 나타나지 않았으며, T_g 는 440°C 로 높아졌다.

참 고 문 헌

1. Office of Tech. Serv., U.S. Dept of Commerce Washington, D.C. (1945) (P.B. Report 25, 642)
2. K.Kamide et al., *Macromol. Chem.*, **179**, 359(1978)
3. H.L. Bender, *Mod. Plastics*, **30**, 136(1953)
4. 已波, 大阪工業技術試験所報告, **313**, 105(1959)
5. 已波, 第7回熱硬化性樹脂講演討論會 (1957, 7)
6. T.T. Jones, *J.Soc. Chem. Ind.*, **65**, 264(1946)
7. C.K. Ingold, "Structure and Mechanism in Organic Chemistry," Cornell Univ. Press. (1952)
8. J.S. Rodia et al., *J.Org. Chem.*, **24**, 21(1959)
9. R.Leuckart, and M.Schmidt, *Ber.*, **18**, 2339 (1885)
10. S.Petersen, *Ann.*, **562**, 205(1949)
11. R.E.Hunter, *J.Appl. Chem.*, **1**, 298(1951)
12. N.J.L. Megson, *Nature*, **140**, 642(1937)
13. Y.Iwakura, Y.Taneda and S.Uchida, *J. Appl. Polym. Sci.*, **5**, 108(1961)
14. Thor L.Smith and A.B.Magnusson, *J.Polym. Sci.*, **17**, 391(1960)
15. S.Chow et al., *J.Appl. Polym. Sci.*, **23**, 1973 (1979)
16. J.Swerdloff and S.B.McFarlane, "Thermal Degradation of Polyurethanes," American Chemical Society Meeting, Sept., 1954
17. C.S.Paik Sung and N.S.Schneider, *Macromolecules*, **8**, 68(1975)
18. W.J.McKnight et al., *J.Polym.Sci., Pt.C*, **42**, 817(1973)
19. R.W.Seymour, G.M.Estes and S.L.Cooper, *Macromolecules*, **3**, 579(1970)
20. J.Haslem et al., "Identification and Analysis of Plastic," Illifle Books, p.231(1965)